

## 第 16 章 电磁场

### 一、选择题

1(A), 2(C), 3(D), 4(B), 5(D)

### 二、填空题

(1).  $\varepsilon = NbB dx/dt = NbB\omega A \cos(\omega t + \pi/2)$  或  $\varepsilon = NBbA\omega \sin \omega t$ .

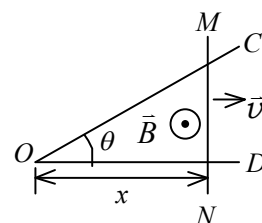
(2).  $\pi BnR^2$ , 0. (3). 9.6 J.

(4).  $\iint_S \frac{\partial}{\partial t} \vec{D} \cdot d\vec{S}$  或  $d\Phi_D/dt$ ,  $-\iint_S \frac{\partial}{\partial t} \vec{B} \cdot d\vec{S}$  或  $-d\Phi_m/dt$ .

(5).  $\frac{\pi r^2 \varepsilon_0 E_0}{RC} e^{-t/RC}$ , 相反

### 三 计算题

1. 如图所示, 有一弯成  $\theta$  角的金属架  $COD$  放在磁场中, 磁感强度  $\vec{B}$  的方向垂直于金属架  $COD$  所在平面. 一导体杆  $MN$  垂直于  $OD$  边, 并在金属架上以恒定速度  $\vec{v}$  向右滑动,  $\vec{v}$  与  $MN$  垂直. 设  $t=0$  时,  $x=0$ . 求下列两情形, 框架内的感应电动势  $\varepsilon_i$ .



- (1) 磁场分布均匀, 且  $\vec{B}$  不随时间改变.
- (2) 非均匀的时变磁场  $B = Kx \cos \omega t$ .

解: (1) 由法拉第电磁感应定律:

$$\Phi = B \frac{1}{2} xy \quad y = \tan \theta x \quad x = vt$$

$$\varepsilon_i = -d\Phi/dt = -\frac{d}{dt} \left( \frac{1}{2} B \tan \theta x^2 \right) = -\frac{1}{2} B \tan \theta 2x dx/dt = B \tan \theta v^2 t$$

在导体  $MN$  内  $\varepsilon_i$  方向由  $M$  向  $N$ .

(2) 对于非均匀时变磁场  $B = Kx \cos \omega t$

取回路绕行的正向为  $O \rightarrow N \rightarrow M \rightarrow O$ , 则

$$d\Phi = B dS = B \eta d\xi \quad \eta = \xi \tan \theta$$

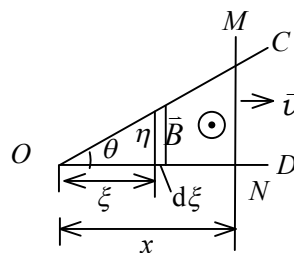
$$d\Phi = B \xi \tan \theta d\xi = K \xi^2 \cos \omega t \tan \theta d\xi$$

$$\Phi = \int d\Phi = \int_0^x K \xi^2 \cos \omega t \tan \theta d\xi = \frac{1}{3} K x^3 \cos \omega t \tan \theta$$

$$\varepsilon_i = -\frac{d\Phi}{dt} = \frac{1}{3} K \omega x^3 \sin \omega t \tan \theta - K x^2 v \cos \omega t \tan \theta$$

$$= K v^3 \tan \theta \left( \frac{1}{3} \omega t^3 \sin \omega t - t^2 \cos \omega t \right)$$

$\varepsilon_i > 0$ , 则  $\varepsilon_i$  方向与所设绕行正向一致,  $\varepsilon_i < 0$ , 则  $\varepsilon_i$  方向与所设绕行正向相反.



2. 求长度为  $L$  的金属杆在均匀磁场  $\vec{B}$  中绕平行于磁场方向的定轴  $OO'$  转动时的动生电动势。已知杆相对于均匀磁场  $\vec{B}$  的方位角为  $\theta$ ，杆的角速度为  $\omega$ ，转向如图所示。

解：在距  $O$  点为  $l$  处的  $d\vec{l}$  线元中的动生电动势为

$$d\varepsilon = (\vec{v} \times \vec{B}) \cdot d\vec{l}$$

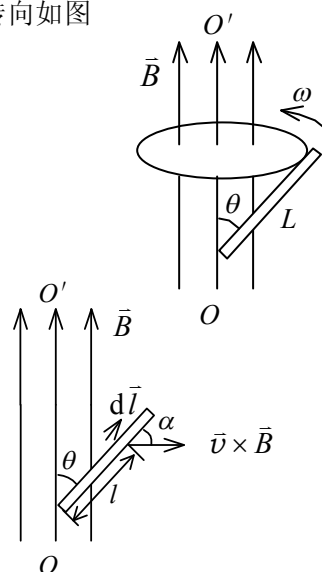
$$v = \omega l \sin \theta$$

$$\therefore \varepsilon = \int_L (\vec{v} \times \vec{B}) \cdot d\vec{l} = \int_L v B \sin\left(\frac{1}{2}\pi\right) \cos \alpha dl$$

$$= \int_L \omega l B \sin \theta dl \sin \theta = \omega B \sin^2 \theta \int_0^L l dl$$

$$= \frac{1}{2} \omega B L^2 \sin^2 \theta$$

$\varepsilon$  的方向沿着杆指向上端



3. 一根长为  $l$ ，质量为  $m$ ，电阻为  $R$  的导线  $ab$  沿两平行的导电轨道无摩擦下滑，如图所示。轨道平面的倾角为  $\theta$ ，导线  $ab$  与轨道组成矩形闭合导电回路  $abdc$ 。整个系统处在竖直向上的均匀磁场  $\vec{B}$  中，忽略轨道电阻。求  $ab$  导线下滑所达到的稳定速度。

解：动生电动势  $\varepsilon_i = vBl \cos \theta$

$$I = \frac{\varepsilon_i}{R} = \frac{vBl \cos \theta}{R}$$

导线受到的安培力

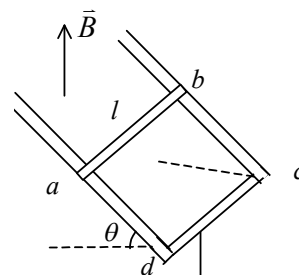
$$f_m = I l B$$

$ab$  导线下滑达到稳定速度时重力和磁力在导轨方向的分力相平衡

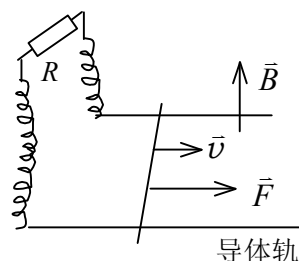
$$mg \sin \theta = f_m \cos \theta$$

$$mg \sin \theta = \frac{vBl \cos \theta}{R} l B \cos \theta$$

$$\therefore v = \frac{mgR \sin \theta}{B^2 l^2 \cos^2 \theta}$$



4. 如图所示，一个恒力  $\vec{F}$  作用在质量为  $m$ ，长为  $l$  垂直于导轨滑动的裸导线上，该导线两端通过导体轨与电阻  $R$  相通(导线电阻也计入  $R$ )。导线从静止开始，在均匀磁场  $\vec{B}$  中运动，其速度  $\vec{v}$  的方向与  $\vec{B}$  和导线皆垂直，假定滑动是无摩擦的且忽略导线与电阻  $R$  形成的回路的自感，试求导线的速度与时间的关系式。



解：在均匀磁场中运动导线切割磁力线，在导线上产生的动生电动势： $\varepsilon = vBl$ 。式中  $l$  为导线的长度， $v$  为其运动的速度。

导线中电流为： $I = \varepsilon / R = vBl / R$

根据安培力公式，导线受磁力  $f = I l B = v B^2 l^2 / R$

$\vec{f}$  和  $\vec{F}$  方向相反。

导线运动的微分方程为：
$$m \frac{dv}{dt} = F - \frac{B^2 l^2}{R} v$$

其解为：
$$v(t) = \frac{RF}{B^2 l^2} + G \cdot \exp\left(-\frac{B^2 l^2}{mR} t\right)$$

其中  $\exp(x) = e^x$ ,  $G$  为待定常量. 当  $t=0$ ,  $v=0$ , 求得  $G = -RF/(B^2 l^2)$ , 故

$$v(t) = \frac{RF}{B^2 l^2} [1 - \exp(-\frac{B^2 l^2}{mR} t)]$$

5. 一根电缆由半径为  $R_1$  和  $R_2$  的两个薄圆筒形导体组成, 在两圆筒中间填充磁导率为  $\mu$  的均匀磁介质. 电缆内层导体通电流  $I$ , 外层导体作为电流返回路径, 如图所示. 求长度为  $l$  的一段电缆内的磁场储存的能量.

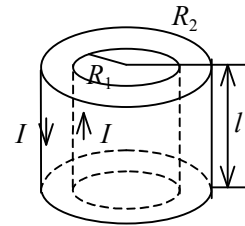
解：
$$\oint \vec{H} \cdot d\vec{l} = \sum I_i, \quad 2\pi r H = I \quad (R_1 < r < R_2)$$

$$H = \frac{I}{2\pi r}, \quad B = \mu H = \frac{\mu I}{2\pi r}$$

$$w_m = \frac{B^2}{2\mu} = \frac{\mu^2 I^2}{2\mu(2\pi r)^2}$$

$$dW_m = w_m dV = w_m 2\pi r dr \cdot l = \frac{\mu I^2}{2(2\pi r)^2} 2\pi r l dr$$

$$\therefore W_m = \int_{R_1}^{R_2} dW_m = \frac{\mu I^2 l}{4\pi} \int_{R_1}^{R_2} \frac{dr}{r} = \frac{\mu I^2 l}{4\pi} \ln \frac{R_2}{R_1}$$



#### 四 研讨题

2. 变压器的铁心为什么总做成片状的, 而且涂上绝缘漆相互隔开? 铁片放置的方向应和线圈中磁场的方向有什么关系?

参考解答:

变压器的铁心由高导磁材料硅钢片制成, 它的导磁系数  $\mu$  约为空气的导磁系数的 2000 倍以上. 大部分磁通都在铁心中流动, 主磁通约占总磁通的 99% 以上, 而漏磁通占总磁通的 1% 以下. 也就是说没有铁心, 变压器的效率会很低.

变压器的铁心做成片状并涂上绝缘漆相互隔开, 是为了阻断铁心中涡流的通路, 以减少铁心中的涡流发热. 铁片放置的方向应沿着线圈中磁场的方向, 绝不可以使铁片与磁场的方向垂直, 否则铁心中的涡流仍将很大.

2. 金属探测器的探头内通入脉冲电流, 才能测到埋在地下的金属物品发回的电磁信号. 能否用恒定电流来探测? 埋在地下的金属为什么能发回电磁信号?

参考解答:

当金属探测器的探头内通入脉冲电流 (变化电流) 时, 它就会产生变化的磁场, 从而使位于地下的金属物品中产生感应电流. 这个感应电流是随时间变化的电流, 变化的电流又可以产生变化的磁场, 因而金属物品可以发回电磁信号, 这样就能探测到埋在地下的金属物品.

如果探头内通入的是恒定电流，金属物品中就不会有感应电流，不能发回电磁信号，也就无法探测到地下的金属物品。因此，探头中不能通入恒定电流。

